



Министерство науки и высшего образования Российской Федерации  
Федеральное государственное бюджетное образовательное учреждение  
высшего образования  
«Московский государственный технический университет  
имени Н.Э. Баумана  
(национальный исследовательский университет)»  
(МГТУ им. Н.Э. Баумана)

ФАКУЛЬТЕТ «Информатика и системы управления»

КАФЕДРА «Программное обеспечение ЭВМ и информационные технологии»

### **Лабораторная работа № 4**

**Дисциплина: Моделирование**

**Тема: Программно-алгоритмическая реализация моделей на основе дифференциальных уравнений в частных производных с краевыми условиями II и III рода.**

**Студент: Гасанзаде М.А.**

**Группа ИУ7-66Б**

**Оценка (баллы) \_\_\_\_\_**

**Преподаватель : Градов В.М.**

Москва.  
2020 г.

## **СОДЕРЖАНИЕ**

I. АНАЛИТИЧЕСКАЯ ЧАСТЬ.....	3
Цель работы.....	3
Исходные данные.....	3
Физический смысл задачи.....	4
II. ТЕХНОЛОГИЧЕСКАЯ ЧАСТЬ.....	6
Листинг.....	6
III. ЭКСПЕРИМЕНТАЛЬНАЯ ЧАСТЬ.....	10
IV. ОТВЕТЫ НА ВОПРОСЫ.....	12
ЗАКЛЮЧЕНИЕ.....	17
СПИСОК ИСПОЛЬЗОВАННОЙ ЛИТЕРАТУРЫ.....	18

## I. АНАЛИТИЧЕСКАЯ ЧАСТЬ.

### Цель работы

Получение навыков разработки алгоритмов решения смешанной краевой задачи при реализации моделей, построенных на квазилинейном уравнении параболического типа.

### Исходные данные

1. Задана математическая модель.

Уравнение для функции  $T(x, t)$

$$c(T) \frac{\partial T}{\partial t} = \frac{\partial}{\partial x} \left( k(T) \frac{\partial T}{\partial x} \right) - \frac{2}{R} \alpha(x) T + \frac{2T_0}{R} \alpha(x) \quad (1)$$

$$2. \text{ Краевые условия: } \begin{cases} t=0, & T(x, 0) = T_0, \\ x=0, & -k(T(0)) \frac{\partial T}{\partial x} = F_0, \\ x=l, & -k(T(l)) \frac{\partial T}{\partial x} = \alpha_N(T(l) - T_0) \end{cases}$$

3. Разностная схема с разностным краевым условием при  $x=0$

$$\widehat{A}_n \widehat{y}_{n-1} - \widehat{B}_n \widehat{y}_n + \widehat{D}_n \widehat{y}_{n+1} = -\widehat{F}_n \quad (2)$$

$$\begin{aligned} & \left( \frac{h}{8} \widehat{c}_{1/2} + \frac{h}{4} \widehat{c}_0 + \widehat{\chi}_{1/2} \frac{\tau}{h} + \frac{\tau h}{8} p_{1/2} + \frac{\tau h}{4} p_0 \right) \widehat{y}_0 + \left( \frac{h}{8} \widehat{c}_{1/2} - \widehat{\chi}_{1/2} \frac{\tau}{h} + \frac{\tau h}{8} p_{1/2} \right) \widehat{y}_1 = \\ & = \frac{h}{8} \widehat{c}_{1/2} (y_0 + y_1) + \frac{h}{4} \widehat{c}_0 y_0 + \widehat{F} \tau + \frac{\tau h}{4} (\widehat{f}_{1/2} + \widehat{f}_0) \end{aligned} \quad (3)$$

Разностный аналог краевого условия при  $x=l$  интегро-интерполяционным методом, интегрируя на отрезке  $[x_{N-1/2}, x_N]$  уравнение (1), учитывая, что

поток  $\widehat{F}_N = \alpha_N(\widehat{y}_N - T_0)$ , а  $\widehat{F}_{N-1/2} = \widehat{\chi}_{N-1/2} \frac{\widehat{y}_{N-1} - \widehat{y}_N}{h}$  :

$$\int_{x_{N-1/2}}^{x_N} dx \int_{t_m}^{t_{m+1}} c(T) \frac{\partial T}{\partial t} dt = - \int_{t_m}^{t_{m+1}} dt \int_{x_{N-1/2}}^{x_N} \frac{\partial F}{\partial x} dx - \int_{x_{N-1/2}}^{x_N} dx \int_{t_m}^{t_{m+1}} p(x) T dt + \int_{x_{N-1/2}}^{x_N} dx \int_{t_m}^{t_{m+1}} f(x) dt \quad (4)$$

Методом правых прямоугольников для интегралов справа:

$$\int_{x_{N-1/2}}^{x_N} \hat{c}(\hat{T}-T) dx = - \int_{t_m}^{t_{m+1}} (F_N - F_{N-1/2}) dt - \int_{x_{N-1/2}}^{x_N} p \hat{T} \tau dx + \int_{x_{N-1/2}}^{x_N} \hat{f} \tau dx \quad (5)$$

Первый интеграл справа вычислим применив метод правых прямоугольников, а последующие методом трапеций (6):

$$\frac{h}{4} [\widehat{c}_N (\widehat{y}_N - y_N) + \widehat{c}_{N-1/2} (\widehat{y}_{N-1/2} - y_{N-1/2})] = -\tau (\widehat{F}_N - \widehat{F}_{N-1/2}) - \frac{h}{4} \tau (p_N \widehat{y}_N + p_{N-1/2} \widehat{y}_{N-1/2}) + \frac{h}{4} \tau (\widehat{f}_N + \widehat{f}_{N-1/2})$$

Подставим в выражения для потока (7):

$$\frac{h}{4} \left[ \widehat{c}_N (\widehat{y}_N - y_N) + \widehat{c}_{N-1/2} \left( \frac{\widehat{y}_N + \widehat{y}_{N-1}}{2} - \frac{y_N + y_{N-1}}{2} \right) \right] = -\tau \left( \alpha_N (\widehat{y}_N - T_0) - \widehat{\chi}_{N-1/2} \frac{\widehat{y}_{N-1} - \widehat{y}_N}{h} \right) - \frac{h}{4} \tau \left( p_N \widehat{y}_N + p_{N-1/2} \frac{\widehat{y}_N + \widehat{y}_{N-1}}{2} \right) + \frac{h}{4} \tau (\widehat{f}_N + \widehat{f}_{N-1/2})$$

Приведа к общему виду, получаем (8):

$$\left( \frac{h}{4} \widehat{c}_N + \frac{h}{8} \widehat{c}_{N-1/2} + \alpha_N \tau + \frac{\tau}{h} \widehat{\chi}_{N-1/2} + \frac{h}{4} \tau p_N + \frac{h}{8} \tau p_{N-1/2} \right) y_N + \left( \frac{h}{8} \widehat{c}_{N-1/2} - \frac{\tau}{h} \widehat{\chi}_{N-1/2} + \frac{h}{8} \tau p_{N-1/2} \right) \cdot y_{N-1} = \frac{h}{4} \widehat{c}_N y_N + \frac{h}{8} \widehat{c}_{N-1/2} (y_N + y_{N-1}) + \tau \alpha_N T_0 + \frac{h}{4} \tau (\widehat{f}_N + \widehat{f}_{N-1/2})$$

Принимая простую аппроксимацию:

$$p_{N-1/2} = \frac{p_N + p_{N-1}}{2}, \quad \widehat{f}_{N-1/2} = \frac{\widehat{f}_N + \widehat{f}_{N-1}}{2}, \quad \widehat{c}_{N-1/2} = \frac{\widehat{c}_N + \widehat{c}_{N-1}}{2}$$

Как мы видим, если принять  $c(u) = 0$  и сократить  $\tau$ , формула (8) перейдет в формулу для разностного краевого условия при  $x=l$  из предыдущей лабораторной работы.

### Физический смысл задачи

1. Сформулированная в данной работе математическая модель описывает **нестационарное** температурное поле  $T(x,t)$ , зависящее от координаты  $x$  и меняющееся во времени.

2. Свойства материала стержня привязаны к температуре, т.е. теплоемкость и коэффициент теплопроводности  $c(T)$ ,  $k(T)$  зависят от  $T$ , тогда как в работе №3  $k(x)$  зависит от координаты, а  $c = 0$ .

3. При  $x = 0$  цилиндр нагружается тепловым потоком  $F(t)$ , в общем случае зависящим от времени, а в работе №3 поток был постоянный.

Если в настоящей работе задать поток постоянным, т.е.  $F(t) = \text{const}$ , то будет происходить формирование температурного поля от начальной температуры  $T_0$  до некоторого установившегося (стационарного) распределения  $T(x, t)$ . Это поле в дальнейшем с течением времени меняться не будет и должно совпасть с температурным распределением  $T(x)$ , получаемым в лаб. работе №3, если все параметры задач совпадают, в частности, вместо  $k(T)$  надо использовать  $k(x)$  из лаб. работы №3. Это полезный факт для тестирования программы.

Если после разогрева стержня положить поток  $F(t) = 0$ , то будет происходить остывание, пока температура не выровняется по всей длине и не станет равной  $T_0$ .

При произвольной зависимости потока  $F(t)$  от времени температурное поле будет как-то сложным образом отслеживать поток.

*Замечание.* Варьируя параметры задачи, следует обращать внимание на то, что решения, в которых температура превышает примерно 2000К, физического смысла не имеют и практического интереса не представляют.

## II. ТЕХНОЛОГИЧЕСКАЯ ЧАСТЬ

ЯП был выбран Python3 из-за простоты работы с графиками и библиотеки matplotlib. Ниже на листингах будет представлена реализация программы:

### Листинг

#### Листинг 1. Метод прогонки

```
void Sweep::setLeftBoundary(double K0, double M0, double P0)
{
    _K0 = K0;
    _M0 = M0;
    _P0 = P0;
}

void Sweep::setRightBoundary(double KN, double MN, double PN)
{
    _KN = KN;
    _MN = MN;
    _PN = PN;
}

void Sweep::setCoeffs(const QVector<double> &A, const QVector<double> &B, const
QVector<double> &C, const QVector<double> &F)
{
    _A = A;
    _B = B;
    _C = C;
    _F = F;
}

QVector<double> Sweep::solve()
{
    QVector<double> xi;
    QVector<double> eta;
    int N = _A.size();
    QVector<double> y(N);
    xi.push_back(0);
    eta.push_back(0);
    xi.push_back(-_M0 / _K0);
    eta.push_back(_P0 / _K0);
    for (int i = 1; i < N - 1; i++)
    {
        double div = _B[i] - _A[i] * xi[i];
        xi.push_back(_C[i] / div);
        eta.push_back((_F[i] + _A[i] * eta[i]) / div);
    }
    y[N-1] = (_PN - _MN * eta[N-1]) / (_KN + _MN * xi[N-1]);
    for (int i = N - 2; i >= 0; i--)
    {
        y[i] = xi[i+1] * y[i+1] + eta[i+1];
    }
    return y;
}
```

## Листинг 2. Вычисление коэффициентов разностной схемы.

```
void Rod::calculateCoeffs(QVector<double> &A, QVector<double> &B,  
QVector<double> &D, QVector<double> &F)  
{  
    int N = static_cast<int>(floor(_l / _h) + 1);  
    A = QVector<double>(N);  
    B = QVector<double>(N);  
    D = QVector<double>(N);  
    F = QVector<double>(N);  
    double x = _h;  
    for (int i = 1; i < N - 1; i++)  
    {  
        A[i] = _tau * calculateChi(_prevIteration[i], _prevIteration[i + 1]) /  
_h;  
        D[i] = _tau * calculateChi(_prevIteration[i], _prevIteration[i - 1]) /  
_h;  
        B[i] = A[i] + D[i] + calculateC(_prevIteration[i]) * _h + calculateP(x)  
* _h * _tau;  
        F[i] = calculateF(x) * _h * _tau + calculateC(_prevIteration[i]) *  
_prevT[i] * _h;  
        x += _h;  
    }  
}
```

## Листинг 3. Вычисление краевых условий (правого)

```
double chiHalf = calculateChi(_prevIteration.back(),  
_prevIteration[_prevIteration.size() - 2]);  
double pN = calculateP(_l);  
double fN = calculateF(_l);  
double cN = calculateC(_prevIteration.back());  
double pN1 = calculateP(_l - _h);  
double fN1 = calculateF(_l - _h);  
double cN1 = calculateC(_prevIteration[_prevIteration.size() - 2]);  
double pHalf = (pN + pN1) / 2;  
double fHalf = (fN + fN1) / 2;  
double cHalf = (cN + cN1) / 2;  
double h8 = _h / 8;  
double h4 = h8 * 2;  
  
KN = h4 * cN + h8 * cHalf + _tau * _alphaN + _tau / _h * chiHalf + h4 * _tau  
* pN + h8 * _tau * pHalf;  
MN = h8 * cHalf - _tau / _h * chiHalf + h8 * _tau * pHalf;  
PN = h4 * cN * _prevT.back() + h8 * cHalf * (_prevT.back() +  
_prevT[_prevT.size() - 2]) + _tau * _alphaN * _T0 + h4 * _tau * (fN + fHalf);  
}
```

## Листинг 4. Вычисление краевых условий (левого)

```
double chiHalf = calculateChi(_prevIteration[0], _prevIteration[1]);  
double p0 = calculateP(0);  
double f0 = calculateF(0);  
double c0 = calculateC(_prevIteration[0]);  
double p1 = calculateP(_h);  
double f1 = calculateF(_h);  
double c1 = calculateC(_prevIteration[1]);  
double pHalf = (p0 + p1) / 2;  
double fHalf = (f0 + f1) / 2;
```

```

double cHalf = (c0 + c1) / 2;
double h8 = _h / 8;
double h4 = h8 * 2;
K0 = h8 * cHalf + h4 * c0 + chiHalf * _tau / _h + _tau * h8 * pHalf + _tau *
h4 * p0;
M0 = h8 * cHalf - chiHalf * _tau / _h + _tau * h8 * pHalf;
P0 = h8 * cHalf * (_prevT[0] + _prevT[1]) + h4 * c0 * _prevT[0] + _F0 * _tau
+ _tau * h4 * (fHalf + f0);
}

```

## Листинг 5. Вычисление температуры

```

{
    QVector<double> A, B, C, F;
    QVector<QVector<double>> result;
    double K0, M0, P0;
    double KN, MN, PN;
    Sweep sweep;
    _d = _alphaN * _l / (_alphaN - _alpha0);
    _c = -_d * _alpha0;

    _currT = QVector<double>(floor(_l / _h) + 1, _T0);
    result.push_back(_currT);
    double t = 0;
    do
    {
        _prevT = _currT;
        _currIteration = _prevT;
        do
        {
            _prevIteration = _currIteration;
            calculateCoeffs(A, B, C, F);
            calculateLeftBoundary(K0, M0, P0);
            calculateRightBoundary(KN, MN, PN);
            sweep.setCoeffs(A, B, C, F);
            sweep.setLeftBoundary(K0, M0, P0);
            sweep.setRightBoundary(KN, MN, PN);
            _currIteration = sweep.solve();
        } while (calculateDifference(_currIteration, _prevIteration) > _eps);
        _currT = _currIteration;
        result.push_back(_currT);
        t += _tau;
    } while (calculateDifference(_currT, _prevT) > _eps);
    return result;
}

```

Далее, в экспериментальной части, тестирование будет производиться по этим данным:

$$k(T) = a_1(b_1 + c_1 T^{m_1}), \text{ Вт/см К},$$

$$c(T) = a_2 + b_2 T^{m_2} - \frac{c_2}{T^2}, \text{ Дж/см}^3 \text{ К}.$$

$$\alpha_1 = 0.0134, \quad b_1 = 1, \quad c_1 = 4.35 \cdot 10^{-4}, \quad m_1 = 1,$$

$$\alpha_2 = 2.049, \quad b_2 = 0.563 \cdot 10^{-3}, \quad c_2 = 0.528 \cdot 10^5, \quad m_2 = 1.$$



$$\alpha(x) = \frac{c}{x-d},$$

$$\alpha_0 = 0.05 \text{ Bm/cm}^2 \text{ K},$$

$$\alpha_N = 0.01 \text{ Bm/cm}^2 \text{ K},$$

$$l = 10 \text{ см},$$

$$T_0 = 300 \text{ K},$$

$$R = 0.5 \text{ см}$$

$$F(t) = 50 \text{ Bm/cm}^2 \text{ (для отладки принять постоянным)}.$$

### III. ЭКСПЕРИМЕНТАЛЬНАЯ ЧАСТЬ

В данном разделе будет рассмотрен вывод программы и представлены графики зависимостей. Замеры проводились при точности  $\epsilon = 10^{-5}$ .

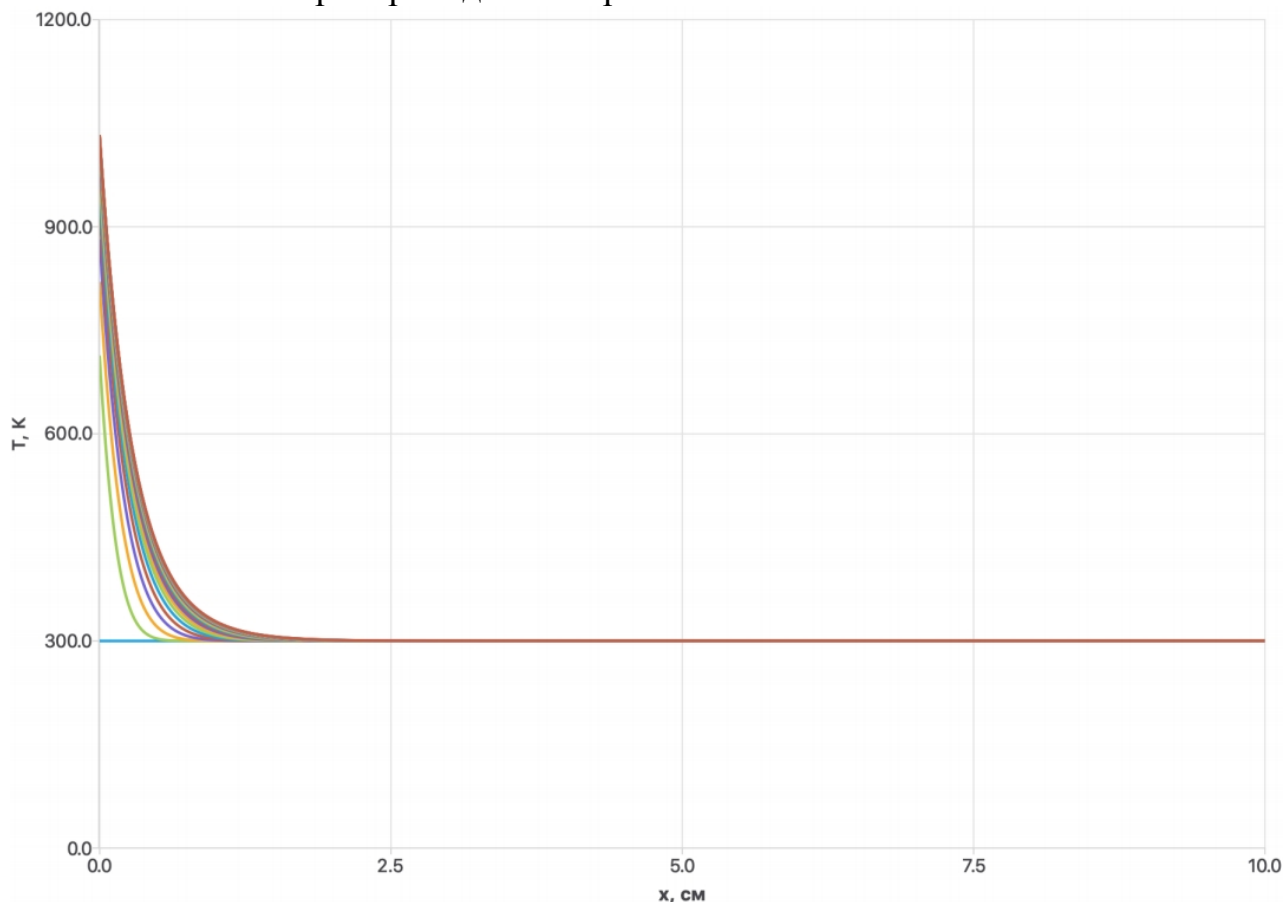


Рисунок 1. График температуры от координаты.

График зависимости температуры  $T(x, t_m)$  от координаты  $x$  при нескольких фиксированных значениях времени  $t_m$  заданных выше параметрах. Здесь *нижний график* — температура в нулевой момент времени, *верхний график* — температура соответствующая установленному режиму. Из-за использования отличных от 3й лабораторной работы коэффициентов, график стационарного режима будет наклонным.

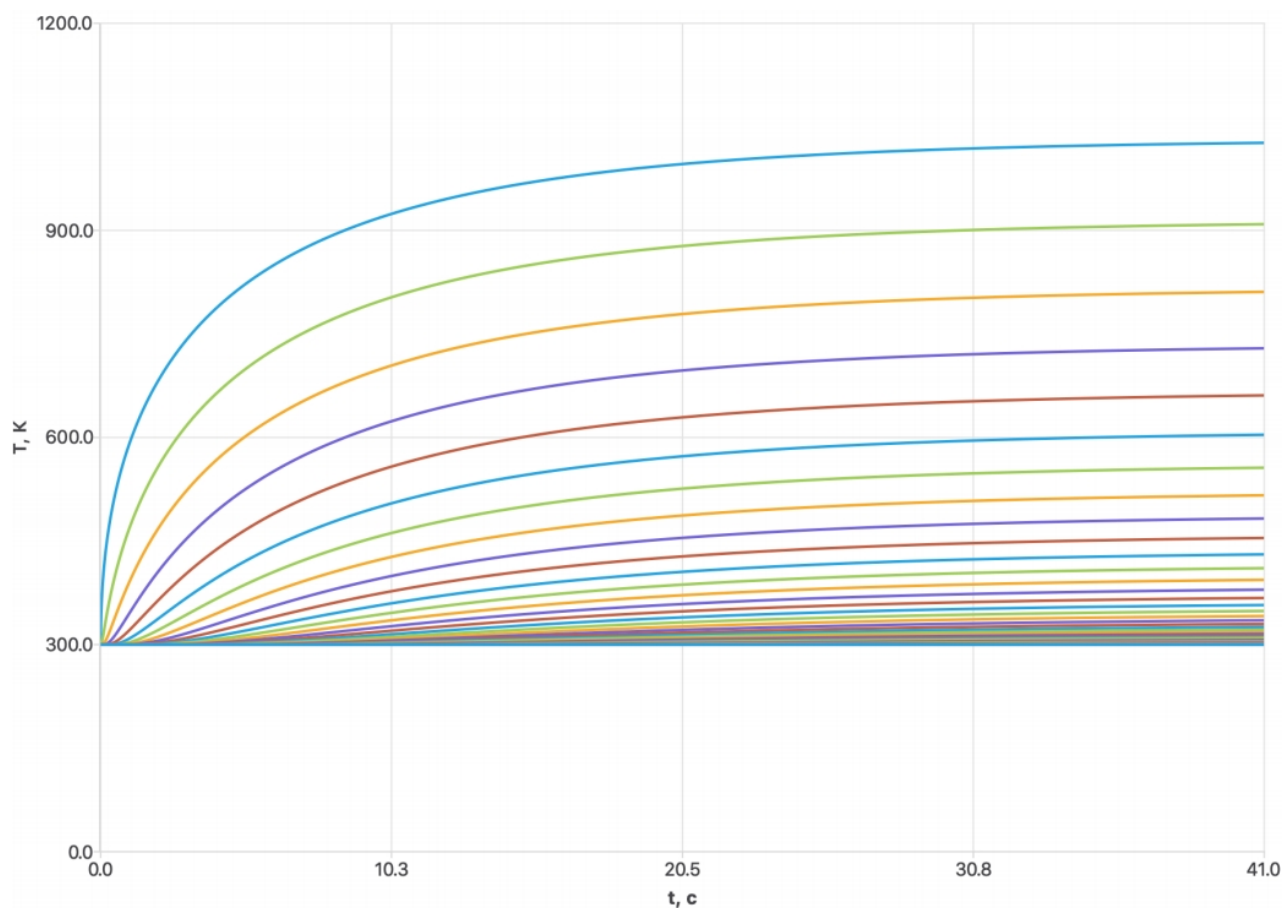


Рисунок 2. Зависимость температуры от времени.

График зависимостей  $T(x_n, t)$  при нескольких фиксированных  $x_n$ . Здесь, *нижний график* — правый конец стержня ( в данном случае  $x=x_N=l$ ), *верхний график* — левый конец стержня, который нагружается тепловым потоком ( в данном случае  $x=x_0=0$ .)

#### IV. ОТВЕТЫ НА ВОПРОСЫ

1. Приведите результаты тестирования программы (графики, общие соображения, качественный анализ).

- Как тест, можно задать температуру окружающей среды стержню, т.е. считать тепловой поток нулевым ( $F_0 = 0$ ):

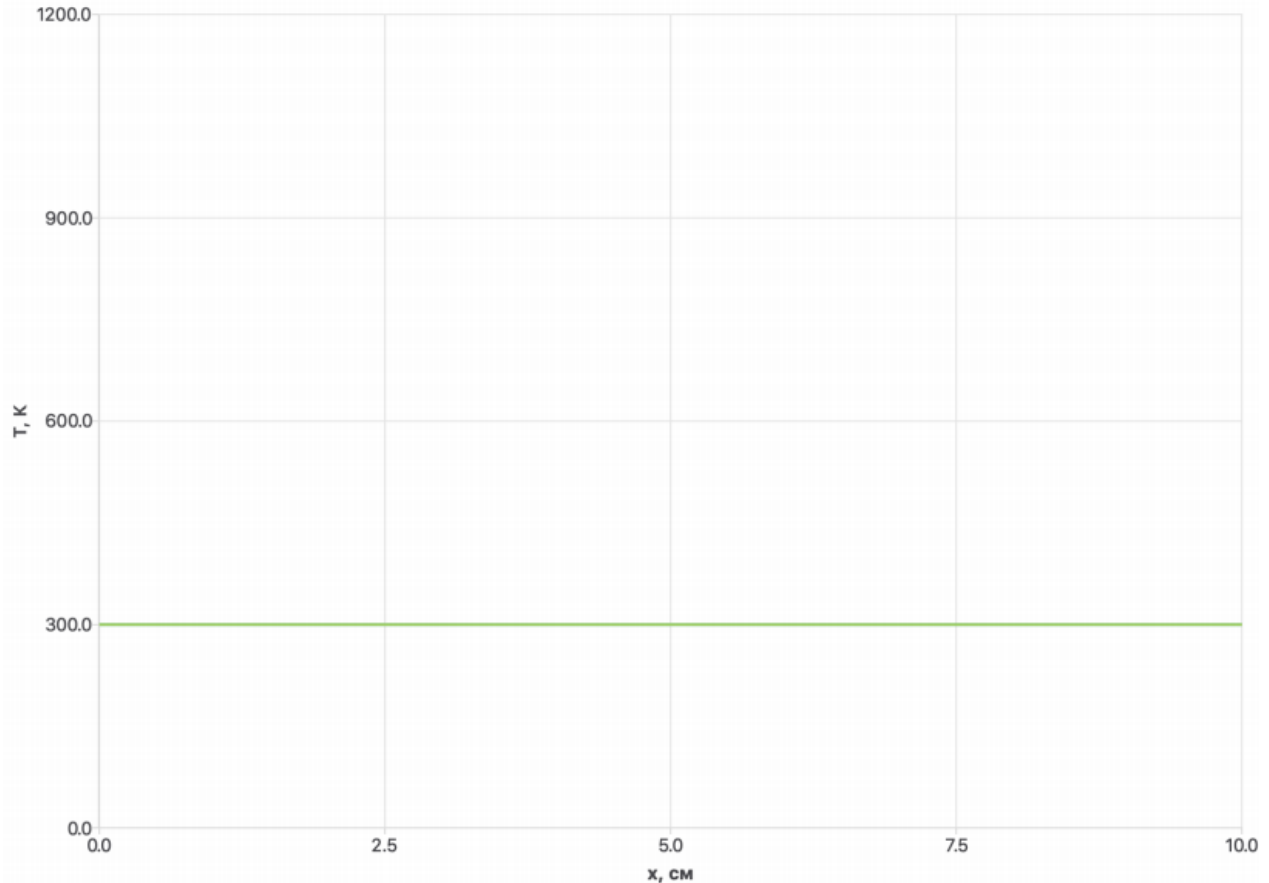


Рисунок 3. График температуры при отсутствии нагрева.

- Также, учитывая, что лабораторная частично схожа с 3й, для тестирования программы можно сравнить графики, получившиеся при выходе на стационарном режиме, с графиком, который мы получили в предыдущей лабораторной работе. Для этого избавляемся от зависимости коэффициента теплопроводности от  $T$ , заменяя его коэффициентом который будет зависеть только от координаты, так же как и в предыдущей лабораторной работе (*теплоёмкость обнуляем*):

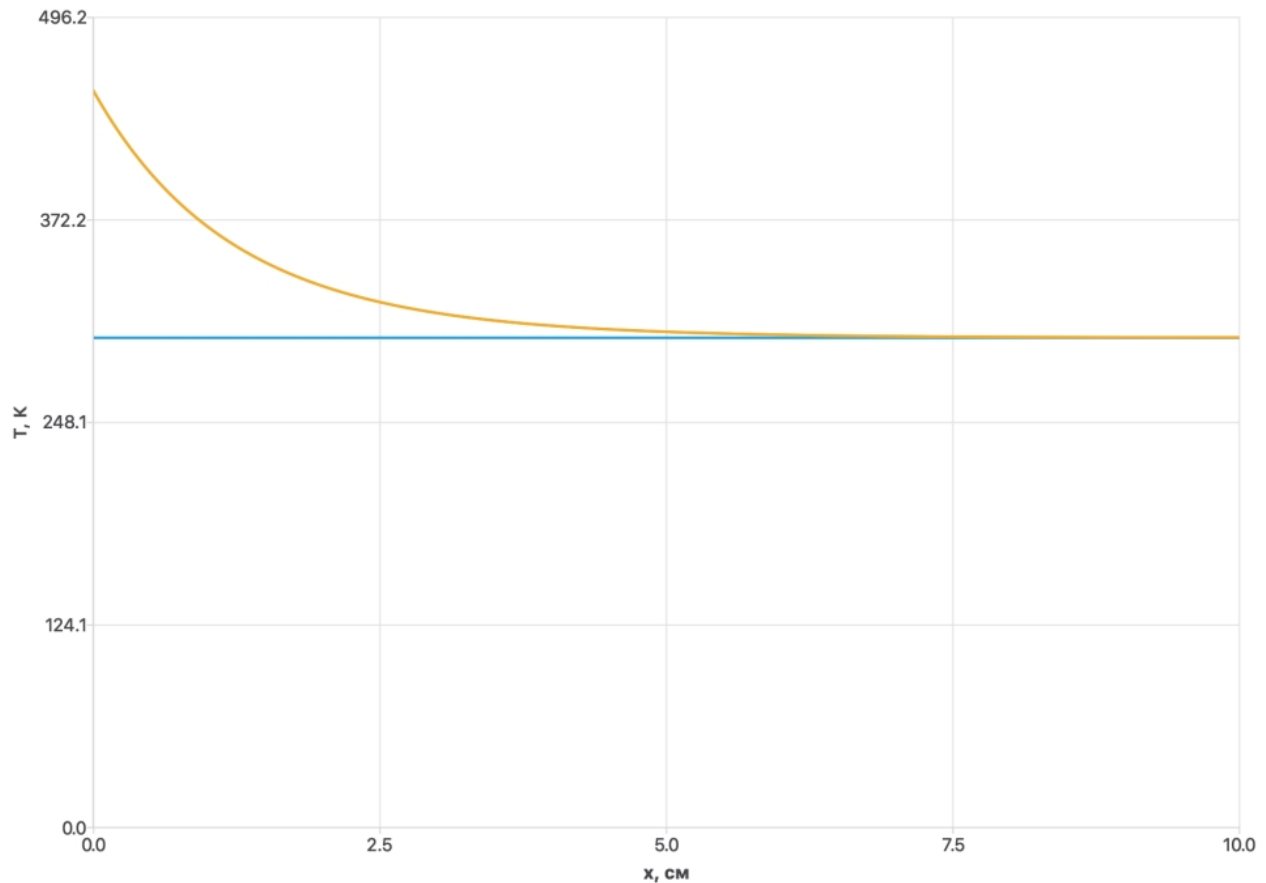


Рисунок 4. График температуры при параметрах из 3й ЛР.

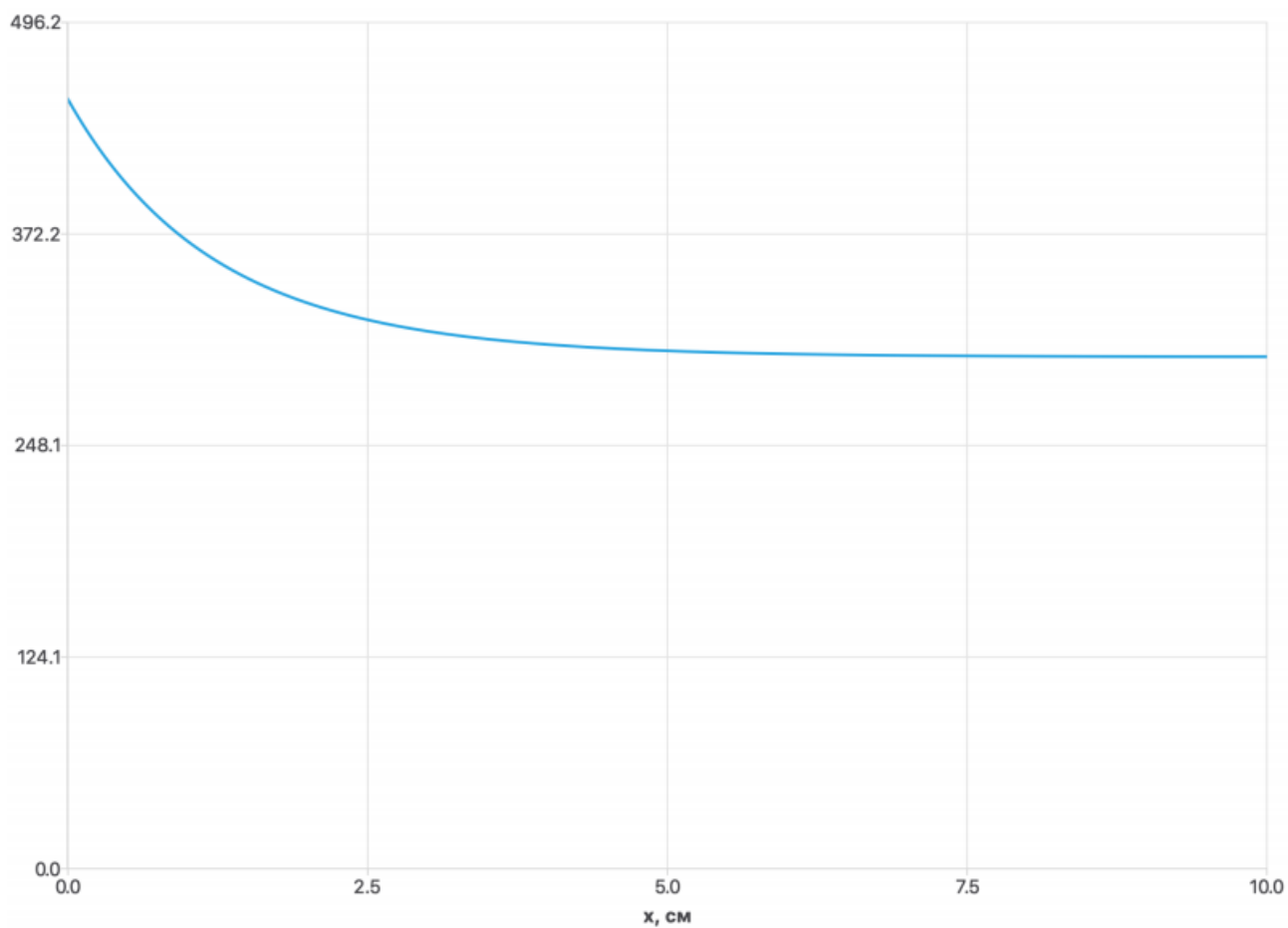


Рисунок 6. График температуры из 3й ЛР.  
Как видим, они идентичны.

Также возможный метод тестирования — при разогретом стрежне температура перестаёт расти, обнулить тепловой поток ( $F_0=0$ ):

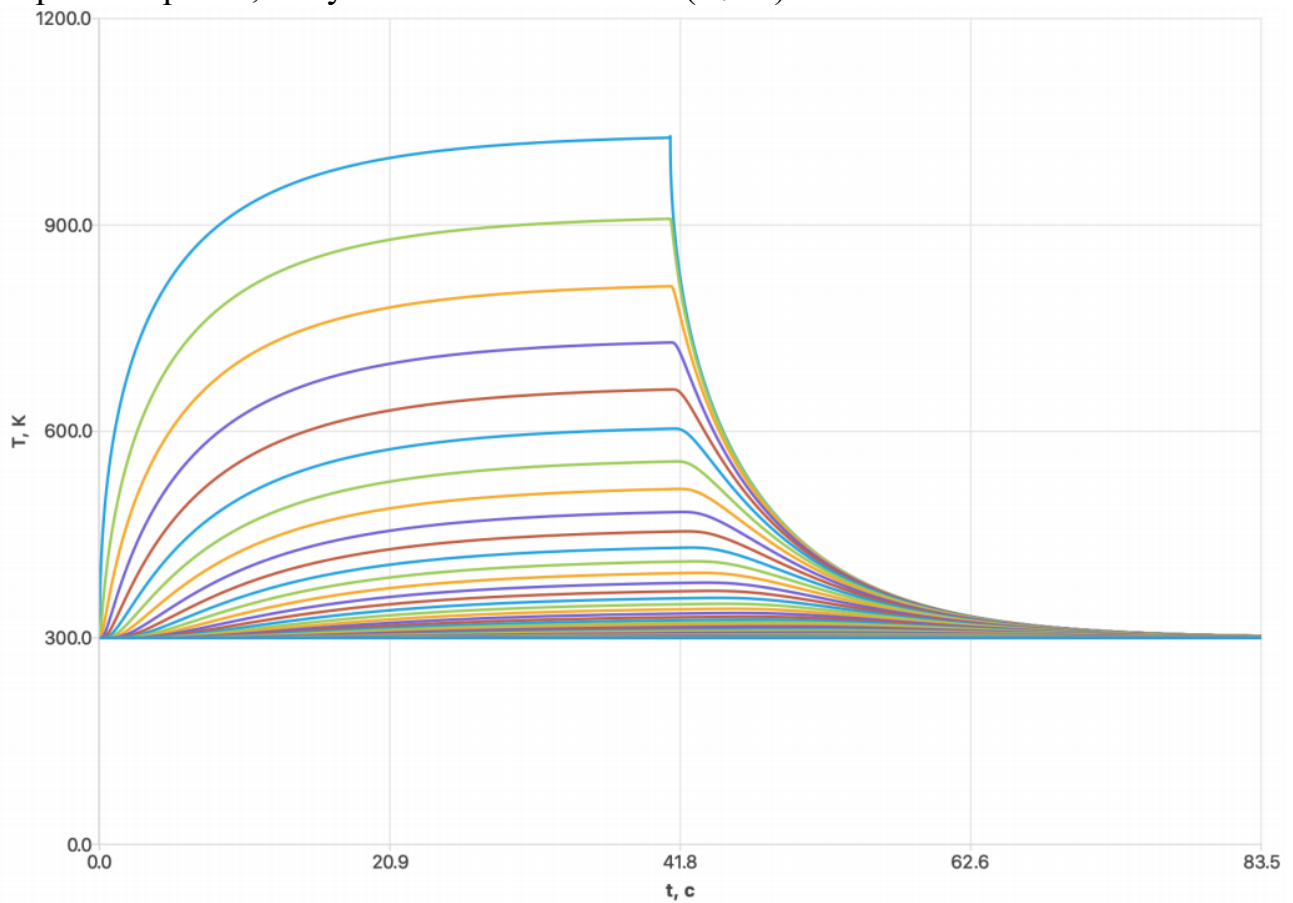


Рисунок 7. График нагрева и остывания стрежня после обнуления теплового потока.

Как видим по графику, после отсутствия нагрева левого конца, начинается процесс остывания до температуры окружающей среды ( $T_0$ ).

2. Выполните линеаризацию уравнения (9), по Ньютону, полагая для простоты, что все коэффициенты зависят только от одной переменной  $\widehat{y}_n$ . Приведите линеаризованный вариант уравнения и опишите алгоритм его решения.

$$\begin{cases} \widehat{K}_0 \widehat{y}_0 + \widehat{M}_0 \widehat{y}_1 = \widehat{P}_0, \\ \widehat{A}_n \widehat{y}_{n-1} - \widehat{B}_n \widehat{y}_n + \widehat{D}_n \widehat{y}_{n+1} = -\widehat{F}_n, \quad 1 \leq n \leq N-1 \\ \widehat{K}_N \widehat{y}_N + \widehat{M}_{N-1} \widehat{y}_{N-1} = \widehat{P}_N \end{cases} \quad (9)$$

Выполним линеаризацию по переменным  $\widehat{y}_{n-1}, \widehat{y}_n, \widehat{y}_{n+1}$ :

$$\begin{aligned} & (\widehat{A}_n \widehat{y}_{n-1} - \widehat{B}_n \widehat{y}_n + \widehat{D}_n \widehat{y}_{n+1} \widehat{F}_n) |_{s-1} + \widehat{A}^{s-1} \Delta \widehat{y}_{n-1}^s + \left( \frac{\partial \widehat{A}_n}{\partial \widehat{y}_n} \widehat{y}_{n-1} - \frac{\partial \widehat{B}_n}{\partial \widehat{y}_n} \widehat{y}_n - \widehat{B}_n + \frac{\partial \widehat{D}_n}{\partial \widehat{y}_n} \widehat{y}_{n+1} + \frac{\partial \widehat{F}_n}{\partial \widehat{y}_n} \right) |_{s-1} \\ & \Delta \widehat{y}_n^s + \widehat{D}_n^{s-1} \Delta \widehat{y}_{n+1}^s = 0 \end{aligned}$$

Приведя к каноническому виду, получим:

$$A_n \Delta \widehat{y}_{n-1}^s - B_n \Delta \widehat{y}_n^s + D_n \Delta \widehat{y}_{n+1}^s = -F_n, \quad 1 \leq n \leq N-1 \quad (10)$$

где,

$$A_n = \widehat{A}_n^{s-1},$$

$$D_n = \widehat{D}_n^{s-1},$$

$$B_n = \left( -\frac{\partial \widehat{A}_n}{\partial \widehat{y}_n} \widehat{y}_{n-1} + \frac{\partial \widehat{B}_n}{\partial \widehat{y}_n} \widehat{y}_n + \widehat{B}_n - \frac{\partial \widehat{D}_n}{\partial \widehat{y}_n} \widehat{y}_{n+1} + \frac{\partial \widehat{F}_n}{\partial \widehat{y}_n} \right) |_{s-1}$$

$$F_n = (\widehat{A}_n \widehat{y}_{n-1} - \widehat{B}_n \widehat{y}_n + \widehat{D}_n \widehat{y}_{n+1} + \widehat{F}_n) |_{s-1}$$

Полученная система уравнений с трехдиагональной матрицей решаются методом прогонки с краевыми условиями:

$$\Delta \widehat{y}_0^s = 0, \quad \Delta \widehat{y}_N^s$$

В результате находятся все  $\Delta \widehat{y}_n^s$ , после чего находятся все значения функции для текущей итерации (S) по формуле:

$$\widehat{y}_n^s = \widehat{y}_n^{s-1} + \Delta \widehat{y}_n^s$$

В качестве начального приближения  $\widehat{y}_n^0$  можно задать в сошедшееся решение  $y_n$  с предыдущего временного шага  $t=t_m$ .

Итерационный процесс завершается при выполнении условия

$$\max \left| \frac{\Delta \widehat{y}_n^s}{\widehat{y}_n^s} \right| \leq \varepsilon \quad \text{для всех } n = 0, 1, \dots, N.$$



## ЗАКЛЮЧЕНИЕ

Были получены навыки разработки алгоритмов решения смешанной краевой задачи при реализации моделей, построенных на квазилинейном уравнении параболического типа. Была выполнена линеаризация уравнения (9) и описан алгоритм его решения. Был получен разностный аналог краевого условия при  $x=l$  интегро-интерполяционным методом. Произведено сравнение показаний графиков с 3й ЛР.

## СПИСОК ИСПОЛЬЗОВАННОЙ ЛИТЕРАТУРЫ

1. Градов В.М. Методические указания: «[04-05-2020-Задание на лаб раб 4.doc](#)» (дата обращения 16.05.2020)
2. Градов В.М. Компьютерные технологии в практике математического моделирования часть 2 URL:  
<http://ebooks.bmstu.ru/secret/html/bikqxyzugca/files/assets/basic-html/page-1.html> (дата обращения 21.05.2020)
3. Градов В.М. Лекция №14 «[04-05-2020-Лекция 14 Модели ДУЧП Методы постр разност схем Интегро интерп.pdf](#)» (дата обращения 20.05.2020)
4. Градов В.М. Лекция №13 «[04-05-2020-Лекция 13 Модели ДУЧП Методы постр разност схем Разност аппроксим.pdf](#)» (дата обращения 19.05.2020)
5. Градов В.М. Лекция №8 «[30-03-2020-Лекция №8 Модели ОДУ краевая задача.pdf](#)» (дата обращения 16.05.2020)